

表面ブイ式波浪計の開癡

建設省 土木研究所 橋本 宏
山口 修

すえがき

波を測定する一つの方法とレマ、海面の上下動に追随して運動する浮体の変位を内蔵した変位計によ、マ測定し波高に換算する方法があり、この種の波浪計はWaveriderと呼ばれている。この方法によれば水深の深いところでも比較的簡単に波の測定が可能であり、データの伝送にもテレメータシステムが利用できることから、外洋における波浪観測の有力な手段になると考へられる。しかしながら、このような波浪計については我が国はむとより諸外国においても十分に検討されているとはいえない、特に長期間海上に設置し、定期的な波浪観測に利用されていく例はほとんどないようである。

著者らは、すぐにブイを利用した波浪観測法の1つとして、海中に浮力をきかせたブイを係留して、これを固定点の代りとし、ブイの内部に設置した水压式波高計や傾斜計、その他のセンサーによ、マ波及び波向を測定する方法を開発したが、それと並行して上述の表面ブイ方式の波浪計についても検討を行つており、その結果としまハピロットブイを開発するに至り、静岡県富太海岸にて現地実験を開始した。ハピロットブイの開発にあたって、その目標としたのは次の事柄である。

(1) 短周期から長周期の波に対して正確に追随するとともに、波向等を測定可能であり、しかも荒天時にわたり転覆する事態が生じても容易に復元するよう浮体形状の開発

(2) 荒天時における強大な波浪外力に対する耐えうるような浮体構造と測定機器の開発

(3) 浮体の運動に影響を及ぼすことなく、しかも荒天時における衝撃力を緩和できる係留システムの開発

(4) 測定データの処理(記録、伝送、解析)システムの開発

本報告ではハピロットブイの概要と波浪中における応答特性ならびに係留システムを中心に報告し、その他についマは省をあらためて述べることとする。

1. ブイ式波浪計の基本形状

海洋観測ブイの形状とレマはDiscus(円盤)型、Spar(円筒)型が主流であり、Discus型の代表的なものとレマはNAVYのモンスターAIがあり、Spar型としてはUcria研究所のFILPが有名である。Discus型は波に直する追随性がよく、共振時の運動も小さい。また流れに対する抗力も没水面積が少ないのでSpar型に比べて小さくという利点をもつが、復元性に難点があり、転覆しても元にもどるように設計するには実際上困難なことが多い。外洋に設置する小規模な波浪計の形状とレマは問題がある。

これに対して、Spar型は波に対する追随性能があまりよくなく、共振時の運動が大きい。また没水面積が大きくなるため流れに対する抗力が大きくなるという欠点を持つが、このようないくつかの形状を有する浮体では静止時にわいて安定であれば、センサーは常に正の値をとり転覆する事態が生じても容易にもしにものどるという特徴がある。レタガタ、今回製作したハピロットブイでは、荒天時の安全性を考慮してSpar型を基本的な形状として採用した。またブイには波に対する追随性能を改良し、余裕浮力を増すことを目的としマ上部に円盤を取り付け、下部には共振時の運動を小さくするために、スリット型のダンパーを取り付けている。係留索は下部に取付ける構造となつており、1点係留でアンカーに係留する。ハピロットブイの概要図を図-1に示す。

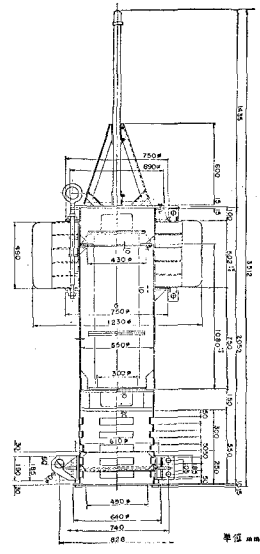


図-1 表面ブイ式波浪計

2. フイ式波浪計の波浪中応答解析

海上に浮べたブイが波浪計として機能するためには、ブイ船体が実際の海城において支配的な波の周波数の範囲内で共振を起すことなく、正確に波の上下動に追随することが必須の条件である。したがってブイ船体の波に対する動揺特性は明確に把握しておく必要がある。ここでは9種類のVORC型ブイの模型を用いて波浪計としての最適形状を理論及び実験によって検討した結果を述べる。

2.1 模型実験

模型実験は静水中および波浪中ににおいて実施し、ブイの動揺特性について検討した。模型は図-1に示す9種類のブイを使用した。(I)型がSoar型であり、(II), (III)型は(I)型に円筒にスリット状の切込みが入ったダンパーを取り付けたものである。(II-1)と(II-2)ではダンパーの長さの比が2:1となる。IV型は(II)型とスリットの幅が異なっている。その比は1:2である。(III-1)と(III-2)では(II)型と同様ダンパーの長さの比が2:1となる。IV型は半潜水式海洋構造物のカラムとして多く使用されている形状であり、下部にダンパーとレマ円盤を取り付けたものである。(IV-1)と(IV-2)では円盤の径がスリットの幅と等しい。VI型は波乗りをよくするために円筒の上部に円盤を取り付けたものである。(VII型は(V)型にスリット状のダンパーを取り付けたものであり、パトロットブイの1/6.9の縮尺である。

これらの模型によつて上部円盤やダンパーの効果、それらが応答特性に与える影響等を検討した。なお、模型の縮尺、重量、浮力、重心位置等はブイを設置する海城の海象条件や内蔵する測定機器の重量を考慮して決定したものであり、必ずしも同一の条件にははない。

2.1.1 静水中動揺実験

模型重心の上下揺れ、重心回りの横揺れの固有周期及び減衰定数を測定するため静水中において動揺実験を行つた。鉛直運動に対するブイを鉛直に沈めることによって、回転運動に対するブイを傾斜させることによって復元力をえた後、静かに手でなして自由振動させ、振幅が徐々に減衰していく様子を16mmカメラで撮影した。測定はそれから5回ずつ行い、その中で良好な記録を5回選びX-Yアライザーによって減衰曲線を求めた。模型諸元及び実験結果を表-1に示す。表からわかるように、スリット型ダンパーは上下揺れ、横揺れの両方に効果があり、特に横揺れにおいてその効果が著しい。円盤型ダンパーは上下揺れに大きな効果がみられるが、横揺れにおいては効果が小さい。また、上部に円盤を取り付けた場合には上下揺れの復元力が大きくなるため減衰定数が大きくなり追随性がよくなることがわかる。

2.1.2 上下揺れ及び横揺れの付加質量

後述するように、波浪制力、運動方程式の係数を求めるにあたっては、付加質量を表-1の実験値にもとづいて算定する必要がある。ここでは(VI)型の場合を例にとって上下揺れと横揺れの付加質量の算定法について述べる。(VI)型の場合、上下揺れにおいては上部円盤の付加質量を $m_{z,1}$ 、ダンパーの付加質量を $m_{z,2}$ として、次のように近似する。

$$m_{z,1} + m_{z,2} = \left(\frac{T_z}{2\pi}\right)^2 \times \rho g A_w - M \quad (1)$$

ここで、 T_z は上下揺れの固有周期、 A_w は水線面積、 M はブイの質量、 ρ は水の密度、 g は重力の加速度である。

$m_{z,1}$ が(VI)型の実験結果より求まると、 $m_{z,2}$ は式(1)から計算できる。

横揺れの付加質量 m_{θ} は横性モーメント J_0 との合計量として次式で求められる。

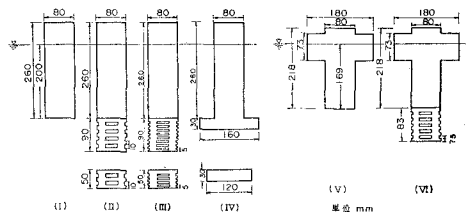


図-2 ブイ模型

表-1 模型諸元及び静水中動揺試験結果

型 番 号 (No.)	諸 元 (Dimensions)								
	I	II-1	II-2	III-1	III-2	IV-1	IV-2	V	VI
高 さ (m)	1.094	1.045	1.026	1.045	1.026	1.009	1.342	1.573	1.620
メタセンター高さ(cm)	1.2	1.2	1.2	1.2	1.2	0.8	1.2	3.4	3.3
重 心 (m)	10.5	11.0	10.8	11.0	10.8	13.5	13.3	5.6	5.6
上下揺れ周期(sec)	0.94	1.05	1.03	1.03	0.99	1.61	1.23	0.66	0.68
上下揺れ減衰定数	0.016	0.050	0.042	0.062	0.041	0.036	0.034	0.048	0.120
横揺れ周期(sec)	1.34	2.29	1.55	2.11	-	2.35	1.56	0.81	1.25
横揺れ減衰定数	0.024	0.180	0.103	0.127	-	-	0.026	0.045	0.237

$$J_0 + j_0 = \left(\frac{T_0}{2\pi} \right)^2 \times W \overline{GM} \quad (2)$$

ここで、 T_0 は横搖固有周期、 W は排水量、 \overline{GM} は傾心高である。

2.1.3 左右搖の付加質量

両臂部に作用する単位長さ断面あたりの水平方向の付加質量は近似的に

$$m_x = \rho \pi h^2, \quad h = \text{円筒の半径} \quad (3)$$

で与えられるがスリット型ダンパーについては実験によって求めめる必要がある。レカレだから、左右搖について復元力が存在せず、通常の方法では困難であるため図-3に示すような一種の強制動搖試験装置を用いて実験を行った。図からわかるように復元力はバネによって与えており、バネはヒズミゲージを貼付けた板バネに取付けである。このバネの先端にダンパーを取り付けて、空気中および水中にて自由振動させ、それらの固有周期、減衰定数を測定した。二の方法によれば付加質量 m_x は次式で与えられる。

$$\frac{M_a + m_x}{M_a} = \frac{T_a^2 (1 - \beta_a^2)}{T_0^2 (1 - \beta_0^2)} \quad (4)$$

ここで、 M_a は空気中ににおける質量、 T_a 、 T_0 はそれぞれ空気中、水中における減衰固有周期。 β_a 、 β_0 は空気中および水中における減衰定数である。

式(4)から計算されるダンパーの左右搖付加質量を $m_x = \rho \cdot \pi h^2$ において比例定数 ρ を求めると(II-1,2), (III-1,2), (VI)型とほぼ0.05となりダンパーの長さ及び形状による相違はみられない。したがって、スリット型ダンパーの左右搖付加質量は上下搖、横搖の場合と違って予想以上に小さく、応答特性に及ぼす影響は小さいことがわかる。

2.1.4 実機試験

波浪中動搖実験に先立つて、実機の上下搖、横搖の固有周期、減衰定数を測定した。測定は横浜アム株の水槽で行い、測定には加速度計を用いた。測定結果と(VI)型の実機換算値を表-1に示す。表からわかるように、実機と(VI)型はほぼ一致した特性を有しており、(VI)型の実験結果から、実機の運動は精度よく推定できると考えられる。

2.1.5 波浪中動搖実験

波浪中にわかれ天体は運動を2次元とすると、上下搖、左右搖、横搖の3成分の運動を行い、これに水平方向の漂流の影響が加わる。したがって、実験では、重心位置の上下搖、左右搖について測定し、一部の模型では横搖についても測定した。実験は土木研究所赤羽支所内の不規則波造波水路(60m × 0.6m × 1.8m)で行った。水路底は水平であり、水路終端部には消波装置が設けである。実験は(I), (II-1), (IV-2), (V), (VI)型の5種類について行い、波高は理論との対応を考慮してほぼ2cm一定とした。ただし、(VI)型については波高の大きい時の動搖特性を検討し、理論の適用範囲を定めるために5cmでも実験を行った。周期は各ブイの固有周期、模型縮尺を考慮して0.65~2.4秒とした。波高は容量式波高計によって測定し、ブイの運動は適当な動搖計測装置がないため8mmカメラを使用した。

実験はブイを水面に浮べた後、波を起し、波が定常状態になったことを確認してブイを自由運動させ、その様子を8mmカメラで撮影した。波高、周期の観測及び撮影は反射波の影響の少ない10波について行い、波高についてはその平均値を入射波高とした。運動振幅については、良好な記録を得るために波の平均値をその振幅とした。また、左右搖、横搖振幅については漂流の影響を除いたものを振幅として定義した。

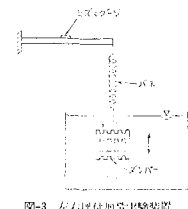


図-3 左右搖付加質量試験装置

表-2 実機試験結果

	バイロットブイ	(VI)型換算値
上下搖固有周期 (sec)	1.80	1.78
上下搖減衰定数	0.117	0.120
横搖固有周期 (sec)	3.65	3.28
横搖減衰定数	-	0.237

2.2 理論展開

浮遊式海洋構造物の波浪中における動揺あるいは構造物に作用する流体力は、ホテンシャル流れの線型境界値問題の解として与えられ、領域分割法、変分法、特異点分布法などによって解くことができるが、ここでは取扱う浮体形状が複雑なため船舶流体力学において一般に用いられる近似理論に基づいて解析した結果を述べる。

2.2.1 運動方程式の構成

ここで取扱う浮体の運動は二次元の定常周期運動とし、運動は微小とする。漂流力はないものとし、簡単のために保留在外の自由浮体の場合を考えることとすれば、波浪中における浮体の運動方程式は線型理論に基づいて次のように構成される。

$$(慣性力) + (静水中で運動する物体に作用する流体力学的力) + (静的復元力) = (拘束された物体に作用する波の強制力) \quad (5)$$

式(5)に従えば、アイの運動方程式は連成項を含めて次式で与えられる。

$$\sum_j [(M_{j,i} + A_{j,i}) \ddot{\zeta}_j + B_{j,i} \dot{\zeta}_j + C_{j,i} \zeta_j] = F_j \quad (j=1, 2, 3), (i=1\text{上下揺}, i=2\text{左右揺}, i=3\text{横揺}) \quad (6)$$

ここで、 $M_{j,i}$ はアイの質量あるいは慣性モーメント、 $A_{j,i}$ は付加質量、 $B_{j,i}$ は逆減衰係数、 $C_{j,i}$ は復元力あるいはモーメント常数、右辺は波強制力である。

右辺の波強制力は浮体の全表面に作用する力を積分することによって求める。Brode-Krilloff の力と進行して大きな波がアイのために擾乱される結果アイへ働く Diffraction wave Force の和として与えられ、次のように近似できる。

$$(\text{波強制力}) = (\text{Brode-Krilloff の力}) + (\text{付加質量}) \times (\text{水粒子の軌道加速度}) + (\text{減衰係数}) \times (\text{水粒子の軌道速度}) \quad (7)$$

以上のような取り扱いのもとに(I)型の運動方程式の係数、波強制力を求めることがある。(II)型を除いて、その他の型式は(I)型の特別な場合であり、(II)型の方程式から簡単に計算できる。また(IV)型についても Brode-Krilloff の力の算定方法が少し異なるのみであり、同様な計算によって解析することができます。

2.2.2 波強制力の計算

円筒についての計算が容易なよう円筒座標を用いる。座標軸を図-4のように定め、 $(-x)$ 方向に進行する規則波を考える。このとき入射波の速度ホテンシャルはベッセル関数によって次のように展開される。

$$\phi = \zeta_0 \frac{i\theta}{\theta} \frac{\cosh k(\theta+z)}{\cosh kz} \sum_{m=0}^{\infty} i^m E_m J_m(kz) \cos m\theta \cdot e^{izt} \quad (8)$$

ここで、 ζ_0 は入射波の振幅、 θ は周波数、 k は重波数、 t は重力の加速度、 J_m は m 次の第1種ベッセル関数である。また、 $E_0 = 1$ 、 $E_m = 2(m \neq 0)$ 、 $i = \sqrt{-1}$ である。

変動圧力を P 、上下及び水平方向の水粒子の軌道速度を u 、 w 、軌道加速度を u' 、 w' とすると、

$$P = -\rho \frac{\partial \phi}{\partial t}, \quad u = \frac{\partial \phi}{\partial x}, \quad u' = \frac{\partial u}{\partial t}, \quad w = \frac{\partial \phi}{\partial z}, \quad w' = \frac{\partial w}{\partial t} \quad (9)$$

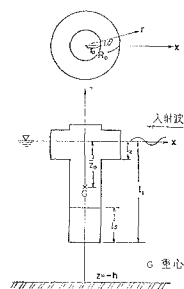


図-4 座標系-(I)型

で与えられる。

したがって、上下及び水平方向の Brode-Krilloff の力、 $F_z(F, K)$ 、 $F_x(F, K)$ はそれぞれ次式で計算される。

$$F_z(F, K) = \int_{R_0}^{R_0} \int_{-\pi}^{\pi} P(t, -l_z) r dr d\theta + \int_0^h \int_{-\pi}^{\pi} P(t, -(l_z - l_0)) r dr d\theta \quad (10)$$

$$F_x(F, K) = - \left\{ \int_{-l_z}^0 \int_{-\pi}^{\pi} R_{0,p}(R_0, z) \cos \theta d\theta dz + \int_{(l_z - l_0)}^{-l_z} \int_{-l_z}^{\pi} h_0 p(R_0, z) \cos \theta d\theta dz + \frac{3}{4} \int_{-l_z}^{(l_z - l_0)} \int_{-l_z}^{\pi} h_0 p(R_0, z) \cos \theta d\theta dz \right\} \quad (11)$$

ここで、式(10), (11)において第1項は上部円盤に、第2項は円筒部に、第3項はダンパーに作用する Broude-Kirilloff の力である。また式(11)Kにおける係数 $\frac{1}{4}\eta$ は、ダンパーの表面積とダンパーをスリットが入っていない円筒としたときの表面積との比である。

Diffraction wave force についてはブイの伴が波の波長に比べて小さいれば、軌道速度に比例した力は無視できるため、ここでは軌道加速度に比例した力のみを表現することにすると、上下及び水平方向の Diffraction wave force, $F_x(D.F)$, $F_z(D.F)$ はそれぞれ次式のようになる。

$$F_z(D.F) = \int_0^{R_o} \int_{-\pi}^{\pi} \frac{m_{z,1}}{\pi R_o^2} \dot{w}_r r d\theta d\phi + \int_0^{R_o} \int_{-\pi}^{\pi} \frac{m_{z,2}}{\pi h_o^2} \dot{w}_r r d\theta d\phi \quad (12)$$

ここで、 $m_{z,1}$ は上部円盤、 $m_{z,2}$ はダンパーの上下振付加質量であり、(1)式より求める。軌道加速度の平均値は第1項では $\bar{s} = -L_2$ 、第2項では $\bar{s} = -(L_1 - \frac{L_2}{2})$ の値を用いることとする。

$$F_x(D.F) = \int_{-L_2}^0 \int_{-\pi}^{\pi} \frac{m_{x,1}}{2\pi R_o} \dot{u}_R r d\theta d\phi + \int_{-(L_1-L_2)}^{-L_2} \int_{-\pi}^{\pi} \frac{m_{x,2}}{2\pi R_o} \dot{u}_R r d\theta d\phi + \int_{-L_1}^{-L_2} \int_{-\pi}^{\pi} \frac{m_{x,3}}{2\pi h_o} \dot{u}_R r d\theta d\phi \quad (13)$$

ここで、 $m_{x,1}$ は上部円盤、 $m_{x,2}$ は円筒部、 $m_{x,3}$ はダンパーの左右振付加質量であり、(3), (4)式から求まる。また、上下及び水平方向の Broude-Kirilloff の力と Diffraction wave force K による重心回りのモーメントをそれぞれ $M_x(F.K)$, $M_x(F.K)$, $M_x(D.F)$, $M_x(D.F)$ とし反時計回りを正とすれば以下のようにあらわせる。

$$M_x(F.K) = \int_{R_o}^{R_o} \int_{-\pi}^{\pi} p(x, -L_2) x r d\theta d\phi + \int_0^{R_o} \int_{-\pi}^{\pi} p(x, -(L_1 - L_2)) x r d\theta d\phi \quad (14)$$

$$M_x(F.K) = - \left\{ \int_{-L_2}^0 \int_{-\pi}^{\pi} R_{op}(R_o, z)(z - \bar{z}_o) \cos \theta d\theta dz + \int_{-(L_1 - L_2)}^{-L_2} \int_{-\pi}^{\pi} R_{op}(R_o, z)(z - \bar{z}_o) \cos \theta d\theta dz \right. \\ \left. + \frac{3}{4} \int_{-L_1}^{-L_2} \int_{-\pi}^{\pi} R_{op}(h_o, z)(z - \bar{z}_o) \cos \theta d\theta dz \right\} \quad (15)$$

$$M_x(D.F) = \int_0^{R_o} \int_{-L_2}^{\pi} \frac{m_{x,1}}{\pi R_o^2} \dot{w}_x r d\theta d\phi + \int_0^{R_o} \int_{-L_2}^{\pi} \frac{m_{x,2}}{\pi h_o^2} \dot{w}_x r d\theta d\phi \quad (16)$$

$$M_x(D.F) = - \left\{ \int_{-L_2}^0 \int_{-\pi}^{\pi} \frac{m_{x,1}}{2\pi R_o} \dot{u}_x(z - \bar{z}_o) R_o d\theta dz + \int_{-(L_1 - L_2)}^{-L_2} \int_{-\pi}^{\pi} \frac{m_{x,2}}{2\pi h_o} \dot{u}_x(z - \bar{z}_o) h_o d\theta dz \right. \\ \left. + \int_{-L_1}^{-L_2} \int_{-\pi}^{\pi} \frac{m_{x,3}}{2\pi h_o} \dot{u}_x(z - \bar{z}_o) h_o d\theta dz \right\} \quad (17)$$

ここで、式(14)～(17)において右辺第1項は上部円盤に、第2項は円筒部に、第3項はダンパーに作用するモーメント、 \bar{z}_o は船山状態における重心位置の座標である。

2.2.2 運動方程式の係数

式(6)に従って上下振の運動方程式をかけば次のようになる。

$$(M + m_x) \ddot{x} + N_x \dot{\theta} + \rho g A_w \cdot z = F_x(F.K) + F_x(D.F) \quad (18)$$

ここで、 M はブイの質量、 m_x は上下振付加質量で $m_x = m_{x,1} + m_{x,2}$ であり、 N_x は減衰係数、 A_w は水線面積である。

また、左方振の減衰係数を無視して左右振と横振の連成運動方程式をかけば次のようになる。

$$(M + m_x) \ddot{x} - M_{xg} \cdot \ddot{\theta} = F_x(F.K) + F_x(D.F) \quad (19)$$

$$(J_g + j_o) \ddot{\theta} + N_g \dot{\theta} + W \cdot \overline{GM} + M_{xg} \ddot{x} = M_{x,T} \quad (20)$$

ここで、 M_{xg} は達成力の係数、 N_g は横振減衰定数であり、その他の記号についてはこれまでと同様である。
すな。

$$M_{x,T} = M_x(F.K) + M_x(F.K) + M_x(D.F) + M_x(D.F)$$

である。

運動力の係数 M_{x0} は次のようく与えられる。

$$M_{x0} = - \left\{ \int_{-L_s}^0 m_{x,1}(z - \bar{z}_0) dz + \int_{-(L_s-L_s)}^{-L_s} m_{x,2}(z - \bar{z}_0) dz + \int_{-L_s}^{-(L_s-L_s)} m_{x,3}(z - \bar{z}_0) dz \right\} \quad (2)$$

すなわち、左右搖の付加質量 m_x は単位長さ断面当たりの付加質量を長さ方向に積分することによって簡単に求まる。 $\int_0 + \int_0$ は式(2)によつて計算できる。

スヌ4 運動方程式の解

運動方程式の係数、波強制力及びモーメントが得られたので、これを解けば上下搖、左右搖、横搖の振幅と波に対する位相が得られる。

以下重心の運動を

$$\begin{aligned} \ddot{x} &= \ddot{x}_0 e^{\zeta t} (\theta z + \varepsilon x) \\ \ddot{z} &= \ddot{z}_0 e^{\zeta t} (\theta z + \varepsilon x) \\ \ddot{\theta} &= \ddot{\theta}_0 e^{\zeta t} (\theta z + \varepsilon x) \end{aligned} \quad | \quad (2)$$

の形でおらわし、(18), (19), (20)式にそれぞれ代入して計算すると $(\ddot{x}_0, \ddot{z}_0, \ddot{\theta}_0, \theta_0, \varepsilon_0)$ が求まり、運動が確定することになる。

4. 計算結果と実験結果の比較

計算結果と実験値との比較を図-4～9に示す。計算結果は横搖を除いて実験結果をよく説明しており、上述の計算方法が妥当であったことを示している。また、計算値は微小振幅波による線型理論に基づいたものであるが図-4に示すように、波高約5cm(実機換算波高約20cm)における実験結果も2cmの場合とはほぼ同程度の値を与えており、線型理論によつてもある程度大きめの波高時の運動が推定可能であることを裏付けている。

横搖については特に(VI)型の場合、実験値が計算値よりも大きく適合性があつてよくない。この原因としては、実験データ解析の精度、Radiation Force 及び粘性抵抗などの非線型力を考慮していないこと、また、波強制力に水粒子の軌道速度に比例する力を考慮していないことなどが考えられるので、今後は強制運動試験などにより、マニピュレーター、三次の力を推定し、計算方法を改良する必要があろう。

上部円盤の効果については、各模型の上下搖応答関数を比較すれば明らかのように、円盤を取り付けた(VI), (VII)型の場合、他の模型に比べて波に対する追随性能が非常に改善されている。

スリット型ダンパーの効果については、(I), (IV), (VI)型と(II), (III), (VII)型の横搖応答関数を比較すれば明らかによろに非常に大きい。

円盤型ダンパーは円盤の径が大きくなると波かじ点が低周波側に移ってくるため、波に対する追随性が悪くなる。したがつて、波浪計のダンパーとして使用する場合には注意する必要がある。

以上のように、上述の計算方法の妥当性が明らかとなつたため、現地海域の条件にあわせて波浪計の運動特性

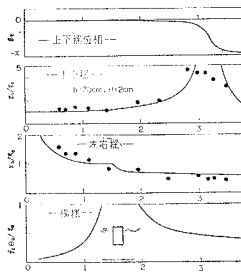


図-4 計算結果と実験値の比較-(I)型-

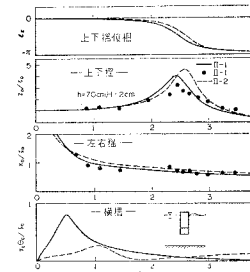


図-5 計算結果と実験値の比較-(II)型-

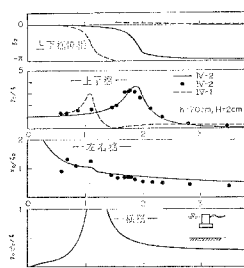


図-6 計算結果と実験値の比較-(III)型-

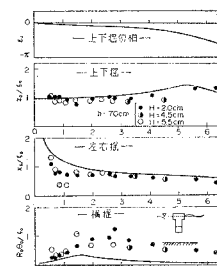


図-7 計算結果と実験値の比較-(IV)型-

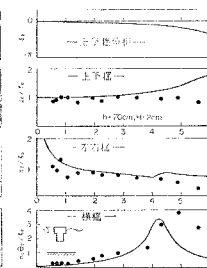


図-8 計算結果と実験値の比較-(VI)型-

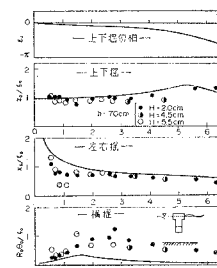


図-9 計算結果と実験値の比較-(VII)型-

を計算した結果が図-10である。上下振の周期振幅%は約10程度までほとんどで、風波からうねりまで正確に追随できることがわかる。横振の固有周期は水位と風波の周期に近いところにあるが、ダンパーの作用によってほとんど共振は起きたないと考えられる。係留索が切る場合についでも、 ζ の実験を行った結果ではダイの復元力に対する係留索の重量が小さければ応答特性にはほとんど影響がないようあり、係留システムを工夫することによると、係留浮体の場合でも自由浮体と同等な応答特性をもたせることが可能であると考えられる。

4. 係留システムについて

この波浪計のように外洋に面した海底にダイを係留する場合には、荒天時の強大な波浪外力を耐えうる係留システムであることが前提条件である。さらに、ダイを波浪計として機能させるためには係留索にFによって波浪計の運動が拘束されないような係留システムにする必要があり、燈浮標や他の海洋観測用のダイとは違った特別な工夫が必要となる。荒天時に生じる衝撃力を吸収する方法としては、中間ダイ方式、中間シンカー方式、チャーン方式（ある程度の重量をもつたチャーンを海底に置く）などが考えられる。その中で波浪計の係留システムとして有効と考えられる中間ダイ方式とチャーン方式について実験的に検討した結果の一例を図-11に示す。ダイの模型は1/5縮尺であり、係留力はリング式荷重計によって図に示すようなスカ所で測定した。中間ダイは円筒形であり、種々の形状の中間ダイによって実験した結果、衝撃力が生じなかた形狀のやのである。ここで使用した中間ダイの半径/高さはダイ重量の約半分であり、チャーンは実機に墻壁として近似したエーンと海底に長く埋められた形のものである。衝撃力は波の条件、中間ダイの大きさ、余裕浮力、係留水深、チャーンの重量等によって複雑に変化するため数少ない実験結果から推論することは誤りをおかすことにもなるが、中間ダイとチャーンの効果は定性的には図-11から明らかである。現地海岸の条件に換算して、周期9秒波高10m程度で同様な実験を行った結果でも上記の中間ダイでは衝撃的な荷重に生じなかった。二の図の実験結果をまとめて図-11のようないくつかの係留システムを採用した。図からわかるように係留システムは中間ダイ方式とチャーン方式を合せたような構成であり、施工性と維持管理の容易さを考えて決定したものである。係留システムにはこれまでほとんど全く問題は生じていなかが、その安全性・妥当性については今後の現地試験によって明らかになるとともにと考えられる。

あとがき

表面ダイ式波浪計を開発するにあたって、主として理論解析、室内実験の結果を中心に報告した。波浪計は1978年5月に島ヶ海岸に設置して現地実験を開始したばかりであり、観測データを得るまでには到っていない。現地実験の結果については、データが得られた時点での概要を報告することとした。

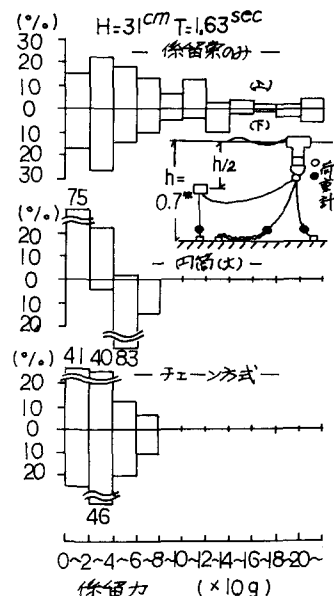
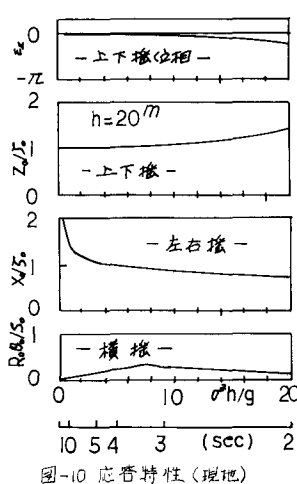


図-11 係留実験結果

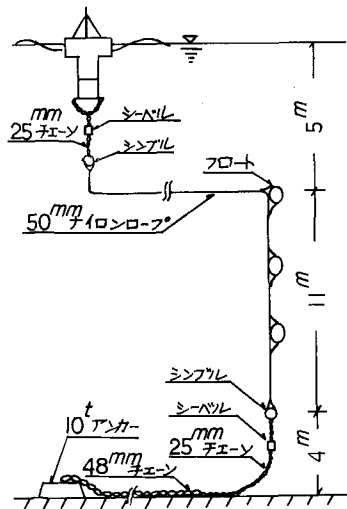


図-12 係留システム